

Рис. 1. Сечения исследованных перфорированных преград.

Рис. 2. Сечения перфорированной (а) и железобетонной (б) испытательных камер.  
1 — стальной двутавр № 22; 2 — рельс Р43; 3 — железобетонное кольцо (процент армирования 1,4); 4 — перфорированная оболочка из стальных стержней.

Рис. 2. Сечения перфорированной (а) и железобетонной (б) испытательных камер.

Проведенные исследования показали: 1) при одинаковом энерговыделении в 210,4 МДж камера первого типа позволяет уменьшить безопасное расстояние с уровнем давления в 0,005 МПа в 2,5 раза по сравнению с энерговыделением в открытом пространстве; 2) установка перфорированной оболочки внутри железобетонного кольца позволяет увеличить предельное по разрушению энерговыделение с 77,5 до 95,8 МДж по сравнению с железобетонным кольцом без перфорированной оболочки.

Таким образом, результаты исследования ослабления ВУВ перфорированными преградами показывают, что степень ослабления ВУВ перфорированными преградами зависит не только от коэффициента перфорации и интенсивности падающей ВУВ, но и от структуры перфорированной преграды. Показана возможность использования перфорированных преград для построения испытательных камер.

#### ЛИТЕРАТУРА

1. В. И. Минеев, В. Е. Клаповский, Б. В. Мацеевич и др. V Symposium Explosive Working of Metals, Gottwaldow, 1982, Dum techniky CSVTS Pardubice, 1982.

УДК 662.2 : 548.526

## ВОПРОСЫ ТЕОРИИ ДИФФУЗИИ ПРИ ВОЗДЕЙСТВИИ УДАРНОЙ ВОЛНЫ

C. B. Земский, B. A. Карпельев, E. A. Рябчиков  
(Днепропетровск)

Значительное проникновение углерода в металлы, соприкасающиеся при воздействии ударной волны, наблюдалось экспериментально в ряде работ [1, 2]. Теоретическое объяснение такого «аномального» проникновения до настоящего времени не было достаточно полным. В настоящей работе рассматриваются различные факторы, возникающие при воздействии ударной волны на металлы, способные интенсифицировать диффузионные процессы.

Под действием ударной волны твердые тела подвергаются обратимой и необратимой деформации, причем работа, совершаемая при необратимой деформации, на 90—95% переходит в тепло. Эту работу можно

представить в виде

$$A = p\Delta h, \quad (1)$$

где  $A$  — работа;  $\Delta h = vt$  — необратимое перемещение поверхности твердого тела под воздействием ударной волны;  $p$  — давление;  $v$  — скорость перемещения;  $t$  — время действия ударной волны. Давление и скорость деформации в общем случае зависят от времени и являются средними значениями

$$p = \frac{\int_0^{t_1} p(t) dt}{t_1} \quad \text{и} \quad v = \frac{\int_0^{t_1} v(t) dt}{t_1}.$$

Изменение температуры твердого тела при выделении тепла внутри его может быть записано в виде

$$\frac{\partial T}{\partial t} = V(dVT) + \frac{w}{\sigma\rho}. \quad (2)$$

Для пластины, протяженность которой в направлении осей  $y$  и  $z$  значительно превосходит протяженность по оси  $x$ , краевыми эффектами можно пренебречь, тогда

$$\frac{\partial T}{\partial t} = a \frac{\partial^2 T}{\partial x^2} + \frac{w}{\sigma\rho}, \quad (2a)$$

где  $T$  — абсолютная температура;  $t$  — время;  $a$  — коэффициент температуропроводности;  $w$  — интенсивность тепловыделения;  $\sigma$  — теплоемкость;  $\rho$  — плотность;  $x$  — координата. В уравнении (2a)  $a$ ,  $\sigma$ ,  $\rho$  приняты константами, которые представляют собой величины

$$a = \int_{T_2}^{T_1} a(T) dT/\Delta T, \quad \sigma = \int_{T_1}^{T_2} \sigma(T) dT/\Delta T, \quad \rho = \int_{T_1}^{T_2} \rho(T) dT/\Delta T, \quad (3)$$

$$\Delta T = T_1 - T_2,$$

$$w = \frac{p\Delta h}{th} = \frac{p\varepsilon_0}{1 - \varepsilon_0}, \quad (4)$$

где  $h$  — толщина образца в заданный момент деформации;  $\varepsilon_0 = v/h_0$ ;  $h_0$  — начальная толщина образца.

Диффузионное проникновение в материалы, подвергающиеся воздействию ударной волны, может быть описано с помощью уравнения диффузии

$$\frac{\partial c}{\partial t} = D(x, T) \frac{\partial^2 c}{\partial x^2} + B(x, T) \frac{\partial c}{\partial x} + E(x, T) c. \quad (5)$$

При выводе этого уравнения принято, что коэффициент диффузии подчиняется уравнению Аррениуса

$$D = D_0 \exp(-Q/RT), \quad (6)$$

где  $D$  — коэффициент диффузии;  $Q$  — энергия активации диффузии;  $R$  — газовая постоянная;  $T$  — абсолютная температура, находимая из решения уравнения (2a) при условиях (3) и (4) для периода действия ударной волны и при условии  $w = 0$  в период, следующий после окончания действия ударной волны. Таким образом, диффузия имеет место при переменных плотностях линейных и концентрациях точечных дефектов кристаллического строения. С учетом действия этих факторов коэффициенты в уравнении (5) имеют вид

$$B(x, T) = \frac{D}{RT} \left[ \frac{\partial T}{\partial x} (Q + q) + F \right], \quad (7)$$

$$E(x, T) = \frac{D}{RT} \left[ \frac{q}{RT^2} \left( \frac{\partial T}{\partial x} \right)^2 (Q - 1) + \frac{QF}{RT^2} \frac{\partial T}{\partial x} + q \frac{\partial^2 T}{\partial x^2} + \frac{\partial F}{\partial x} - F \right], \quad (8)$$

где  $q$  — теплота переноса;  $F$  — сила, действующая на атомы примеси в твердом растворе в поле дефектов кристаллического строения. Время нагрева материала в период деформации (I период) значительно меньше, чем время последующего охлаждения (II период).

Решение уравнения (2а) для второго периода ( $w = 0$ ) при граничных условиях III рода имеет вид

$$T(x, t) = \Theta_{\text{п}} + (\Theta_{\text{и}} - \Theta_{\text{п}}) \operatorname{erf} \left( \frac{x}{2\sqrt{Vat}} \right) + \exp(Hx + H^2at) \operatorname{erfc} \left( \frac{x}{2\sqrt{Vat}} + H\sqrt{at} \right), \quad (9)$$

где  $\Theta_{\text{п}}$  — температура на поверхности материала, равновесная с окружающей средой;  $\Theta_{\text{и}}$  — температура материала в момент прекращения действия ударной волны;  $H$  — константа теплообмена материала с окружающей средой. Введем безразмерные параметры  $z = \frac{x}{2\sqrt{Vct}}$ ,  $\tau = H^2at$ , тогда уравнение (9) можно записать следующим образом:

$$T(z, \tau) = \Theta_{\text{п}} + (\Theta_{\text{и}} - \Theta_{\text{п}}) \operatorname{erf}(z) + \exp(2z\sqrt{\tau} + \tau) \operatorname{erfc}(z + \sqrt{\tau}). \quad (9a)$$

Начальная температура  $\Theta_{\text{и}}$  может быть найдена из решения уравнения (2а). Оценка мощности тепловыделения (МТВ) показывает, что при обработке ударной волной, имеющей давление 10 ГПа (100 кбар) и скорость деформации 100 м/с, в пластине из никеля МТВ  $\sim 6 \cdot 10^7$  кал/(см<sup>3</sup> · с). Температура такой пластины при толщине 0,5 см, скорости деформации 100—300 м/с и давлении 4—8 ГПа (табл. 2.3 [3]) может находиться в интервале 600—1200 К. Оценка температуры согласуется с экспериментальными данными, приведенными в [3]. Если проводить расчет не по средним значениям  $p$  и  $v$ , а учитывать их зависимость от времени и координаты, то температура локальных областей может быть еще выше.

После окончания действия ударной волны начнется охлаждение металла, причем температура уменьшается от максимально достигнутой до комнатной ( $\sim 300$  К). Проникновение диффундирующего вещества с поверхности материала в его объем в этом случае может быть оценено по среднему значению коэффициента диффузии  $\bar{D}$ .

$$\bar{D} = D_0 \int_0^{t_1} \exp(-Q/RT) dt/t_1, \quad (10)$$

где  $T$  — температура, выражаемая формулой (9а).

Зависимость логарифма средних значений коэффициентов диффузии от параметра  $\tau$  приведена на графике рис. 1. По этим графикам можно найти эффективное время диффузии и оценить глубину проникновения диффундирующего вещества, т. е. глубину, на которой концентрация составляет 0,01 от поверхностной. Эта глубина зависит от параметров изотермической диффузии в том же материале  $Q$  и  $D_0$ , интенсивности теплообмена на поверхности материала  $H$ , коэффициента температуропроводности  $a$ , продолжительности охлаждения  $t_1$  и значений температур  $\Theta_{\text{и}}$  и  $\Theta_{\text{п}}$ , как, например, при  $\tau = 1$  для диффузии в альфа-железе. Все величины, кроме  $\Theta_{\text{и}}$ , легко определить с большой точностью из эксперимента. Величина  $\Theta_{\text{и}}$  может быть найдена путем экстраполяции зависимости температуры образца от времени до значений  $t = 0$ . Для диффузии углерода в альфа-железе при  $\Theta_{\text{и}} = 673$  К,  $\Theta_{\text{п}} = 300$  К,  $\tau = 0,1$ ,  $H = 0,1$ ,  $\bar{D} = 7,37 \cdot 10^{-10}$  см<sup>2</sup>/с глубина проникновения  $x = 4,2 \cdot 10^{-4}$  см, при  $\tau = 1$  соответственно  $x = 5 \cdot 10^{-4}$  см. Продолжительность процесса диффузии соответственно 58 и 580 с, она в  $10^6$ — $10^7$  раз превосходит продолжительность непосредственного действия ударной волны.

Уравнение (5) с условиями (6), (8) решено с помощью численных методов. Расчеты проводили на ЭВЦМ ЕС-1022. Предварительно уравнение было преобразовано к новым параметрам  $\Psi = \sqrt{D^0 t}$ ,  $z = \frac{x}{2\sqrt{D^0 t}}$ ,

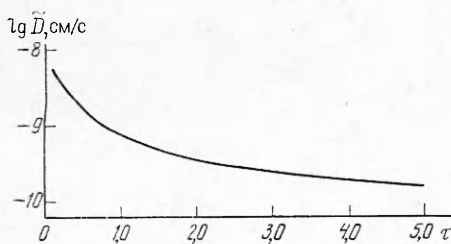


Рис. 1. Зависимость логарифма среднего коэффициента диффузии углерода в альфа-железе от параметра  $t$ .

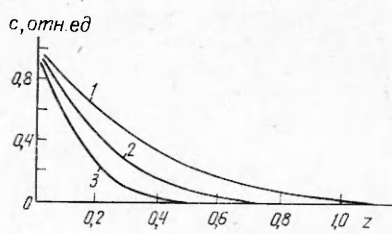


Рис. 2. Зависимость относительной концентрации  $c$  от безразмерной координаты  $z$  при диффузии углерода в никель.

$\alpha = \sqrt{D^0/a}$ ,  $\beta = Q/RT_A$ ,  $D^0 = D_0 \exp(-\beta)$ ,  $T_A$  — температура, превосходящая температуру максимально возможного нагрева, она выбирается для удобства численных расчетов на ЭВЦМ. Примеры зависимостей относительных концентраций  $c$  от безразмерного параметра приведены на рис. 2. Рассматривается диффузия углерода в никель при температурах 1 — 1068, 2 — 993, 3 — 943 К. Видно, что изменение температуры оказывает заметное влияние на проникновение диффундирующего вещества. Данные приведены для  $\Psi = 0,3 \cdot 10^{-4}$  см.

Результаты расчетов показали, что при изменении  $\Psi$  в интервале  $10^{-3}—10^{-2}$  кривые, выражающие зависимость  $c = f(z)$ , изменяют свое положение незначительно. Глубина проникновения углерода в никель зависит от величины параметра и может достигать 50—100 мкм при  $\Theta_n = 1068$  К и  $\Psi = 10^{-2}$ . Эти величины несколько меньше значений, полученных из эксперимента [1]. С учетом ускорения диффузии за счет увлечения примесей движущимися дефектами кристаллического строения [4] предлагаемая теория достаточно удовлетворительно соответствует экспериментальным данным.

#### ЛИТЕРАТУРА

- С. В. Земский, Е. А. Рябчиков, Г. Н. Эпштейн. Физика металлов и металловедение, 1978, 46, 2, 197.
- С. В. Земский, Е. А. Рябчиков, Т. Г. Рябченко и др.— В кн.: Высокие давления и свойства материалов. Киев: Наукова думка, 1980.
- А. А. Дерибас. Физика упрочнения и сварки взрывом. Новосибирск: Наука, 1980.
- С. В. Земский, В. А. Карпельев, Е. А. Рябчиков и др. Изв. вузов. Черная металлургия, 1981, 9, 109.

УДК 518.12 : 539.4.019

### ИССЛЕДОВАНИЕ ДЕФОРМИРОВАНИЯ И КИНЕТИКИ РАЗРУШЕНИЯ КОНТАКТИРУЮЩИХ ТЕЛ ПРИ НЕСИММЕТРИЧНОМ ДИНАМИЧЕСКОМ ВЗАЙМОДЕЙСТВИИ

И. Е. Хорев, В. А. Горельский, С. А. Зеленугин, В. Ф. Толкачев  
(Томск)

Воздействие взрывных и ударных нагрузок на металлические образцы и конструкции различной формы в большинстве случаев реализуется в условиях несимметричного нагружения, что имеет большое практическое значение при исследовании особенностей деформации и разрушения тел в микросекундном диапазоне. В экспериментальном плане исследование этих проблем при широкой вариации начальных параметров взрывных и ударных нагрузок отражено в работах [1—7].

На рис. 1 приведена фотография разреза стальной преграды (НВ-300) толщиной 10 мм после взаимодействия с компактной стальной частицей со скоростью 3530 м/с при угле подхода 30° от нормали. Разрез плиты